

Legenda



Forme di versante dovute alla gravità

- M-GRV-07, Corpo di frana di crollo
- M-GRV-08, Corpo di frana di scorrimento
- M-GRV-08, Corpo di frana di scorrimento DGPV
- M-GRV-09, Corpo di frana di colamento
- M-GRV-11, Corpo di frana di scorrimento non attiva
- M-GRV-15, Cono di detrito
- M-GRV-16, Falda detritica
- M-GRV-04, Nicchia di frana di crollo non attiva
- M-GRV-05, Nicchia di frana di scorrimento non attiva
- M-GRV-06, Nicchia di frana di colamento non attiva
- M-GRV-11, Orlo di scarpata di degradazione
- M-GRV-11, Canalone con scariche di detrito
- M-GRV-14, Superficie dissestata da creep
- M-GRV-22, Superficie dissestata da soffiaggio

Forme glaciali e crivionali

- M-GLA-02, Superficie rocciosa ondulata a modellamento glaciale
- M-GLA-01, Orlo di circo glaciale
- M-GLA-03, Orlo di scarpata di erosione glaciale
- M-GLA-09, Nicchia di nivazione
- M-GLA-10, Canalone di valanga
- M-GLA-21, Area di valanga
- M-GLA-11, Cordone morenico
- M-GLA-15, Orlo di terrazzo di lame
- M-GLA-05, Rocce montane

Forme carsiche

- M-CAR-08, Valle cieca
- M-CAR-08, Valle secca
- M-CAR-02, Dolina
- M-CAR-09, Inghittitoio
- M-CAR-12, Ingresso di grotta a sviluppo orizzontale
- Limite amministrativo

Forme fluviali, fluvio-glaciali e di versante dovute al dilavamento

- M-FLU-29, Cono alluvionale con pendenza inferiore al 2%
- M-FLU-30, Cono alluvionale con pendenza fra il 2% e il 10%
- M-FLU-31, Cono alluvionale con pendenza superiore al 10%
- M-FLU-32, Cono da trasporto in massa
- M-FLU-34, Cono fluvio-glaciale
- M-FLU-01, Fossa
- M-FLU-14, Valtocchia a V
- M-FLU-15, Valtocchia a conca
- M-FLU-17, Orlo di scarpata di erosione fluviale o di terrazzo: altezza inferiore a 5 metri
- M-FLU-18, Orlo di scarpata di erosione fluviale o di terrazzo: altezza fra 5 e 10 metri
- M-FLU-19, Orlo di scarpata di erosione fluviale o di terrazzo: altezza superiore a 10 metri
- M-FLU-24, Forma calcaree
- M-FLU-26, Sotco da nascondimento concentrato
- M-FLU-38, Valtocchia a fondo piatto
- M-FLU-08, Traccia di scaricatore fluvio-glaciale esteso
- M-FLU-11, Antica direzione di scorrimento

Forme strutturali

- M-STR-09, Superficie strutturale
- M-STR-02b, Faglia presunta
- M-STR-04, Cresta di rilievo monoclinale: cuesta
- M-STR-05, Cresta di rilievo monoclinale: hogback
- M-STR-06, Orlo di scarpata di faglia
- M-STR-12, Orlo di scarpata ripida influenzata dalla struttura
- M-STR-13, Cresta rocciosa, dorsale
- M-STR-19, Sinclinale
- M-STR-20, Anticlinale
- M-STR-14, Picco roccioso

Forme artificiali

- M-ART-18, Discarica, terrapieno
- M-ART-05, Orlo di scarpata di cave attiva
- M-ART-25, Argini principali
- M-ART-30, Pista da sci
- M-ART-08, Cava di piccole dimensioni abbandonata o dismessi
- M-ART-23, Briglia



Comune di Belluno
Provincia di Belluno

PAT

Elaborato

d03

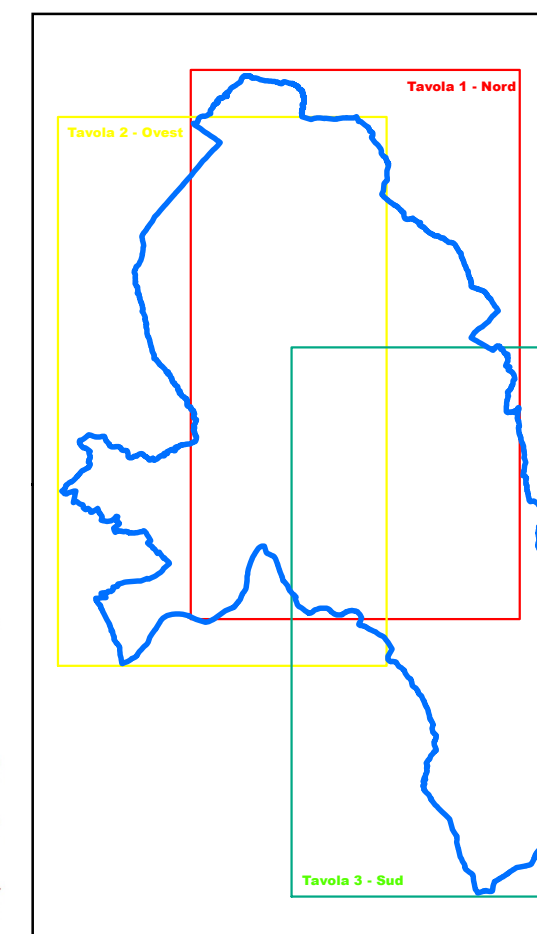
03

02

Scala

1:10000

Carta Geomorfologica
Tavola Ovest



SINDACO
Oscar De Pellegrin

Assessori
Piero Gattin
Segretario generale
Francesco Pucci

Ufficio di Piano
Pierluigi Tognoli - Dirigente
Andrea Mazzoni - Responsabile area urbanistica
Alessandro Chizzotti
Zaira Ciani
Matteo Los Mazzoni
Lucia Ranzani

PROGETTO PAT
Francesco Pucci - Sistema L.P.
Maria Faller - Architetto

Contributi al progetto
Piero Gattin - Architetto
Alessandro Chizzotti - Sistema L.P.
Pierluigi Tognoli - Sistema L.P.
Collaboratori
Giovanna Gatti - Architetto
Matteo Los Mazzoni - Sistema L.P.
Giovanna Gatti - Sistema L.P.

INFRASTRUTTURE E MOBILITÀ
Dott. De Gas - Sistema L.P.
ANALISI GEOLOGICHE
Antonio Tognoli - Studio Geo.Tec.

ANALISI AGROCLIMATICHE E VALUTAZIONE DI INQUINAMENTO AMBIENTALE
Maria Gatti

VALUTAZIONE AMBIENTALE STRATEGICA
Dott. De Gas - Sistema L.P.
Gabriele Calzavara - Sistema L.P.

VALUTAZIONE COMPATIBILITÀ IDRAULICA
Gabriele Calzavara - Studio GFT

Adottato con D.C.P. n. 105 del 29/11/2021
Approvato con D.C.P. n. 69 del 07/11/2023 (B.U.R. 152 del 24/11/2023)
ELABORATO ADEGUATO ALLE PRESCRIZIONI DELLA VTP N.2 DEL 25/10/2023

Dicembre 2023